

Ю. М. Коляно, Е. Г. Грицько

**О ПРИМЕНЕНИИ ОРТОГОНАЛЬНЫХ СИСТЕМ ФУНКЦИЙ  
ПРИ РАСЧЕТЕ ТЕМПЕРАТУРНЫХ ПОЛЕЙ В ЛОКАЛЬНО  
НАГРЕВАЕМЫХ ПО ТОРЦАМ ПЛАСТИНКАХ**

Рассмотрим ортотропную полосу-пластинку  $|x| \leq l$ , нагреваемую по зоне  $|y| \leq h$  поверхности  $x = l$  внешней средой, температура которой  $t_0(y)$  — симметричная функция. Через поверхности  $|x| = l$  и  $|z| = \delta$  осуществляется теплообмен с внешней средой, температура которой всюду равна нулю, кроме зоны нагрева  $|y| \leq h$  поверхности  $x = l$ . Для определения установившегося температурного поля пластинки имеем известное [1] уравнение теплопроводности

$$\Delta T = \kappa^2 T \quad (1)$$

и граничные условия

$$\frac{\partial T}{\partial x} \Big|_{x=l} = -h_1 T|_{x=l} - \{h_0(y) - h_1\} T|_{x=l} - h_0(y) t_0(y) N(y); \quad (2)$$

$$\frac{\partial T}{\partial x} \Big|_{x=-l} = h_3 T|_{x=-l}, \quad (3)$$

где  $\Delta = \frac{\partial^2}{\partial x^2} + k_\lambda^2 \frac{\partial^2}{\partial y^2}$ ;  $k_\lambda^2 = \frac{\lambda_y}{\lambda_x}$ ;  $h_0(y) = \frac{\alpha_0(y)}{\lambda_x}$ ;  $h_1 = \frac{\alpha_1}{\lambda_x}$ ;  $h_3 = \frac{\alpha_3}{\lambda_x}$ ;  $\lambda_x, \lambda_y$  — коэффициенты теплопроводности вдоль координатных осей  $x, y$ ;  $\kappa^2 = \alpha/\lambda_x \delta$ ;  $\alpha$  — коэффициент теплоотдачи с поверхностями  $z = \pm \delta$ ;  $\alpha_0(y)$  — симметричная функция, описывающая поведение коэффициента теплоотдачи в области  $|y| \leq h$  поверхности  $x = l$ ;  $\alpha_1$  — коэффициент теплоотдачи с этой поверхности за пределами области  $|y| \leq h$ ;  $\alpha_3$  — коэффициент теплоотдачи с поверхности  $x = -l$ ;  $N(y) = S_-(y+h) - S_+(y-h)$ ;

$$S_\pm(\xi) = \begin{cases} 0 & \text{при } \xi < 0; \\ 0,5 \mp 0,5 & \text{при } \xi = 0; \\ 1 & \text{при } \xi > 0. \end{cases}$$

Применяя к соотношениям (1) — (3) интегральное преобразование Фурье по переменной  $y$ , получаем

$$\frac{d^2 \bar{T}}{dx^2} = (k_\lambda^2 \xi^2 + \kappa^2) \bar{T}; \quad (4)$$

$$\frac{d\bar{T}}{dx} \Big|_{x=l} + h_1 \bar{T} \Big|_{x=l} = \frac{1}{\sqrt{2\pi}} \left\{ f_0(\xi) - \int_{-h}^h |h_0(y) - h_1| T(l, y) \cos \xi y dy \right\}; \quad (5)$$

$$\frac{d\bar{T}}{dx} \Big|_{x=-l} - h_3 \bar{T} \Big|_{x=-l} = 0, \quad (6)$$

где

$$f_0(\xi) = \int_{-h}^h h_0(y) t_0(y) \cos \xi y dy.$$

Из равенств (4) — (6) видно, что решение задачи (1) — (3) сводится к нахождению зависимости температурного поля на отрезке  $|y| \leq h$  поверхности  $x = l$ .

Представляя  $T$  на этом отрезке аналогично работам [2, 3] в виде

$$T_r(l, y) = \sum_{m=0}^M d_m \psi_m(y) \quad (7)$$

и подставляя (7) в (5), получаем

$$\frac{d\bar{T}_r}{dx} \Big|_{x=l} + h_1 \bar{T}_r \Big|_{x=l} = \frac{1}{\sqrt{2\pi}} \left[ f_0(\xi) - \sum_{m=0}^M d_m \Psi_m(\xi) \right]. \quad (8)$$

Здесь

$$d_m = c_m \int_{-h}^h T_r(l, y) \gamma_0(y) \psi_m(y) dy; \quad (9)$$

$\{\psi_m(y) (m = 0, 1, 2, \dots, M)\}$  — ортогональная система функций с весом  $\gamma_0(y)$  на отрезке  $|y| \leq h$ ;  $c_m$  — коэффициенты нормировки;

$$\Psi_m(\xi) = \int_{-h}^h [h_0(y) - h_1] \psi_m(y) \cos \xi y dy. \quad (10)$$

Решив краевую задачу (4), (6), (8) и перейдя в найденном решении к оригиналу, получим

$$T_r = \frac{1}{\pi} \int_0^{\infty} \left[ f_0(\xi) - \sum_{m=0}^M d_m \Psi_m(\xi) \right] \Phi(x) \cos \xi y d\xi, \quad (11)$$

где

$$\Phi(x) = \frac{(h_3 - \gamma) e^{-\gamma(l+x)} - (h_3 + \gamma) e^{-\gamma(l-x)}}{e^{-2\gamma l} (h_1 - \gamma) (h_3 - \gamma) - e^{2\gamma l} (h_1 + \gamma) (h_3 + \gamma)};$$

$$\gamma = \sqrt{k_\lambda^2 \xi^2 + \kappa^2}.$$

Подставляя равенство (11) в (9), приходим к системе

$$d_m = \frac{c_m}{\pi} \int_0^{\infty} \left[ f_0(\xi) - \sum_{n=0}^M d_n \Psi_n(\xi) \right] \Phi(l) \Phi_m(\xi) d\xi. \quad (12)$$

Здесь

$$\Phi_m(\xi) = \int_{-h}^h \psi_m(y) \gamma_0(y) \cos \xi y dy. \quad (13)$$

Решив систему (12) и подставив значения  $d_m$  в (11), получим формулу для определения температурного поля в полосе-пластинке.

Решение (11) точно удовлетворяет дифференциальному уравнению (1) и в общем случае приближенно — граничному условию (2). Чтобы оценить погрешность решения (11), рассмотрим функцию  $\delta T = T - T_r$ , где  $T$  — точное решение краевой задачи (1) — (3).

Поскольку  $T$  и  $T_r$  удовлетворяют уравнению (1), то  $\delta T$  есть также решение этого уравнения. Известно, что для решений уравнения (1) применим принцип максимума [4], из которого следует, что максимальное по модулю значение функции  $\delta T$  принимает только на поверхностях  $x = \pm l$ .

Для оценки этого максимального значения рассмотрим функции

$$V(y) = \left\{ \frac{\partial T_r}{\partial x} \Big|_{x=l} + h_1 T_r \Big|_{x=l} + [(h_0(y) - h_1) T_r \Big|_{x=l} - h_0(y) t_0(y)] N(y) \right\} \frac{l}{t_0(0)};$$

$$W(y) = \left\{ \frac{\partial T_r}{\partial x} \Big|_{x=-l} - h_2 T_r \Big|_{x=-l} \right\} \frac{l}{t_0(0)}. \quad (14)$$

Учитывая, что  $T_r = T - \delta T$ , получаем следующие соотношения между  $V(y)$ ,  $W(y)$  и  $\delta T$ :

$$V(y) = - \left[ \frac{\partial \delta T}{\partial x} \Big|_{x=l} + h_1 \delta T \Big|_{x=l} + (h_0(y) - h_1) \delta T \Big|_{x=l} N(y) \right] \frac{l}{t_0(0)};$$

$$W(y) = \left( h_2 \delta T \Big|_{x=-l} - \frac{\partial \delta T}{\partial x} \Big|_{x=-l} \right) \frac{l}{t_0(0)}.$$

Заметив также, что в точке максимального значения функции  $|\delta T|$  производная по внешней нормали  $\frac{\partial \delta T}{\partial n}$  и сама  $\delta T$  одного знака, можно сделать такой вывод: функции  $V(y)$  и  $W(y)$  позволяют оценить максимальную погрешность в определении температурного поля ортотропной пластинки и

выбрать тем самым оптимальную величину  $M$  для численных расчетов с заданной точностью.

Заменив в (11), (12) и (14)  $T, T_r, x, y, t_0(y), l, \xi, h, h_0(y), h_1, h_3, d_m, \kappa^2, c_m$  соответственно на  $\theta = \frac{T}{t_0(0)}$ ;  $\theta_r = \frac{T_r}{t_0(0)}$ ;  $X = \frac{x}{l}$ ;  $Y = \frac{y}{l}$ ;  $\theta_0(Y) = \frac{t_0(Y)}{t_0(0)}$ ;  $1$ ;  $\eta = l\xi$ ;  $\varepsilon = \frac{h}{l}$ ;  $Bi_0(Y) = h_0(Y)l$ ;  $Bi_1 = h_1l$ ;  $Bi_3 = h_3l$ ;  $D_m = \frac{d_m}{t_0(0)}$ ;  $Bi = \kappa^2 l^2$ ;  $C_m = c_m l$ , нетрудно представить решение задачи в безразмерном виде.

Рассмотрим случай, когда

$$\begin{aligned}\theta_0(Y) &= 1 - S_-(|Y| - \varepsilon_0) + (b - k|Y|)[S_-(|Y| - \varepsilon_0) - S_-(|Y| - \varepsilon)]; \\ Bi_0(Y) &= B_0[1 - S_-(|Y| - \varepsilon_0)] + B_0(b - k|Y|) \times \\ &\quad \times [S_-(|Y| - \varepsilon_0) - S_-(|Y| - \varepsilon)] + Bi_1,\end{aligned}$$

где

$$k = \frac{1}{\varepsilon - \varepsilon_0}; \quad b = \frac{\varepsilon}{\varepsilon - \varepsilon_0}.$$

В качестве ортогональной системы функций выберем тригонометрический ряд. Тогда

$$\begin{aligned}\psi_m(Y) &= \cos \frac{m\pi Y}{\varepsilon}; \quad C_m = \frac{S(m)}{\varepsilon}; \quad \gamma_0(Y) \equiv 1; \\ f_0(\eta) &= 2(B_0 + Bi_1)\varepsilon_0 \frac{\sin \gamma_2}{\gamma_2} + 2B_0 k^2 \left\{ \frac{2}{\eta^2} (\varepsilon \cos \gamma_1 - \varepsilon_0 \cos \gamma_2) + \right. \\ &\quad \left. + \frac{1}{\eta^3} [(\gamma_1^2 - 2) \sin \gamma_1 - (\gamma_2^2 - 2) \sin \gamma_2] - 2k(2B_0 b + Bi_1) \times \right. \\ &\quad \left. \times \left[ \frac{1}{\eta^2} (\cos \gamma_1 - \cos \gamma_2) + \frac{1}{\eta} (\varepsilon \sin \gamma_1 - \varepsilon_0 \sin \gamma_2) \right] + \right. \\ &\quad \left. + 2(B_0 b^2 + Bi_1 b) \left( \varepsilon \frac{\sin \gamma_1}{\gamma_1} - \varepsilon_0 \frac{\sin \gamma_2}{\gamma_2} \right) \right\}; \\ \Psi_m(\eta) &= B_0 \varepsilon (1 - b) \left[ \frac{\sin(\gamma_2 + m\beta)}{\gamma_2 + m\beta} + \frac{\sin(\gamma_2 - m\beta)}{\gamma_2 - m\beta} \right] - B_0 k \left\{ \frac{\varepsilon^2}{(\gamma_1 + \pi m)^2} \times \right. \\ &\quad \times [(-1)^m \cos \gamma_1 - \cos(\gamma_2 + m\beta)] + \frac{\varepsilon}{\gamma_1 + \pi m} [(-1)^m \varepsilon \sin \gamma_1 - \varepsilon_0 \sin(\gamma_2 + \\ &\quad \left. + m\beta)] + \frac{\varepsilon^2}{(\gamma_1 - \pi m)^2} [(-1)^m \cos \gamma_1 - \cos(\gamma_2 - m\beta)] + \right. \\ &\quad \left. + \frac{\varepsilon}{\gamma_1 - \pi m} [(-1)^m \varepsilon \sin \gamma_1 - \varepsilon_0 \sin(\gamma_2 - m\beta)] \right\} + \\ &\quad + 2bB_0 \left[ (-1)^m \varepsilon \sin \gamma_1 \frac{\gamma_1}{\gamma_1^2 - m^2 \pi^2} \right]; \\ \Phi_m(\eta) &= \frac{\varepsilon}{\gamma_1 + \pi m} \sin(\gamma_1 + m\beta) + \frac{\varepsilon}{\gamma_1 - \pi m} \sin(\gamma_1 - m\beta); \\ &\quad \gamma_1 = \eta \varepsilon; \quad \gamma_2 = \eta \varepsilon_0; \quad \beta = \frac{\pi \varepsilon_0}{\varepsilon}.\end{aligned}$$

Результаты вычислений, произведенных по формулам (11), (12), (14) при  $B_0 = 0,91$ ,  $Bi_1 = 0,015$ ,  $Bi_3 = 0,01$ ,  $k_\lambda = 1$ , представлены на рис. 1—3. Для  $\varepsilon = 0,3$ ,  $\varepsilon_0 = 0,29$  на рис. 1 показана зависимость температурного поля (кривые 1—8) и функции  $V(Y)$  при  $M = 0$  (кривые 9, 10) от координаты  $Y$  при  $Bi = 10^{-4}$  (кривые 1—4, 9) и  $Bi = 0,1$  (кривые 5—10). Кривые 1, 5 соответствуют  $X = 1$ , кривые 2, 6 —  $X = 0,7$ , кривые 3, 7 —  $X = 0$ , кривые 4, 8 —  $X = -1$ . На рис. 2 при  $\varepsilon = 0,3$ ,  $\varepsilon_0 = 0,29$  показано изме-

нение температурного поля в зависимости от координаты  $X$ : кривые 1, 5 для  $Y = 0$ , кривые 2, 6 для  $Y = 0,29$ , кривые 3, 7 для  $Y = 0,5$  и кривые 4, 8 для  $Y = 1$ . Кривые 1—4 соответствуют  $Bi = 10^{-4}$ , кривые 5—8 —  $Bi = 0,1$ . На рис. 3 представлено изменение температурного поля в зависимости от  $\epsilon$  в точках  $X = 1, Y = 0$  (кривая 1),  $X = -1, Y = 0$  (кривая 2),  $X = 1, Y = \epsilon_0$  (кривая 3),  $X = -1, Y = \epsilon_0$  (кривая 4). Значению  $M = 0$  соответствует штриховая кривая,  $M = 1$  — штрихпунктирная и  $M = 2, 3, 4$  — сплошная. Расчет производился при  $Bi = 10^{-4}$ ,  $\epsilon_0 = 0,95 \epsilon$ . Проведенные расчёты показали, что  $\max_Y |V(Y)| > \max_Y |W(Y)|$ .

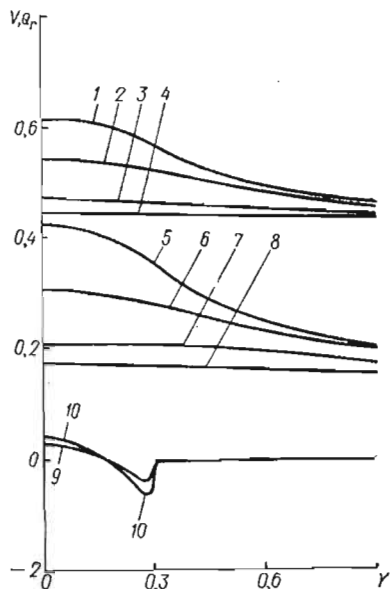


Рис. 1

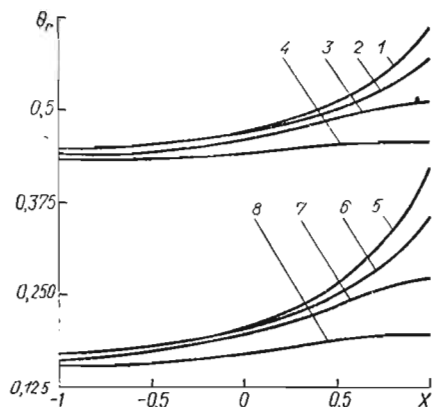


Рис. 2

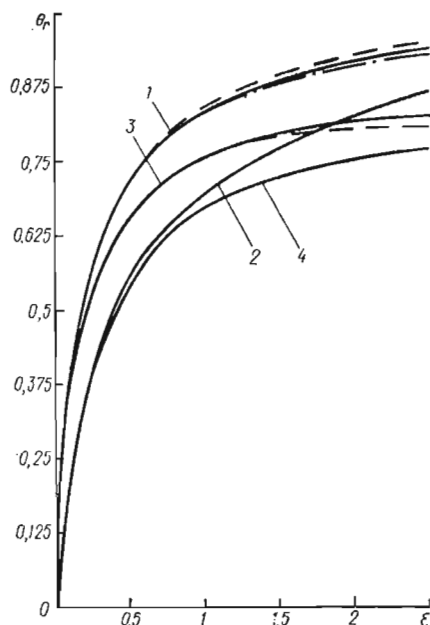


Рис. 3

Следовательно, для оценки погрешности при расчете температурного поля достаточно ограничиться исследованием функции  $V(Y)$ .

Значение температурного поля, рассчитанного при  $M = 0$  и  $M = 4$ , отличается для указанных выше значений параметров менее чем на 0,3% (см. рис. 1, 2).

1. Подстригач Я. С., Коляно Ю. М. Неустановившиеся температурные поля и напряжения в тонких пластинках. — Киев: Наук. думка, 1972. — 308 с.
2. Коляно Ю. М., Грицько Е. Г. Узкозональный нагрев тел. — ФХОМ, 1977, № 3, с. 149—152.
3. Коляно Ю. М., Грицько Е. Г. Температурное поле в массивных телах при смешанных граничных условиях. — Докл. АН УССР. Сер. А, 1977, № 2, с. 132—136.
4. Тихонов А. Н., Самарский А. А. Уравнения математической физики. — М.: Наука, 1966. — 724 с.

Институт прикладных проблем механики  
и математики АН УССР

Поступила в редколлегию  
24.10.78